

FIG. 1A

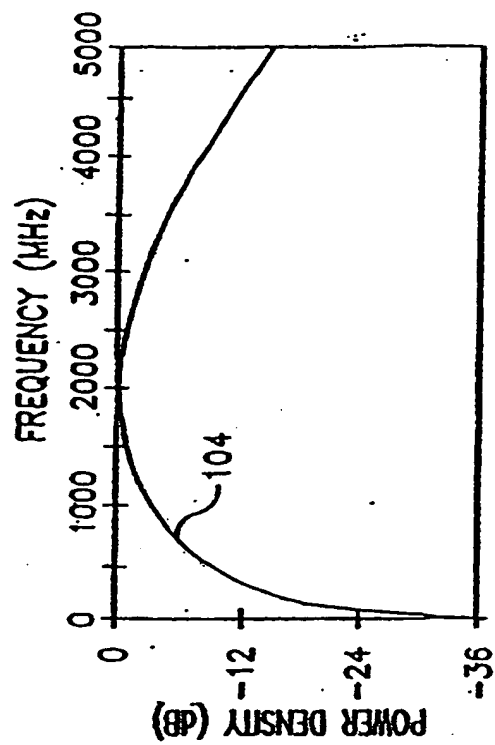


FIG. 1B

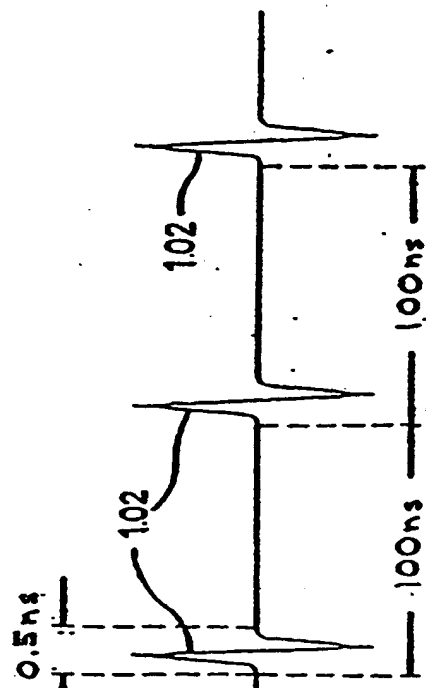


FIG. 2A

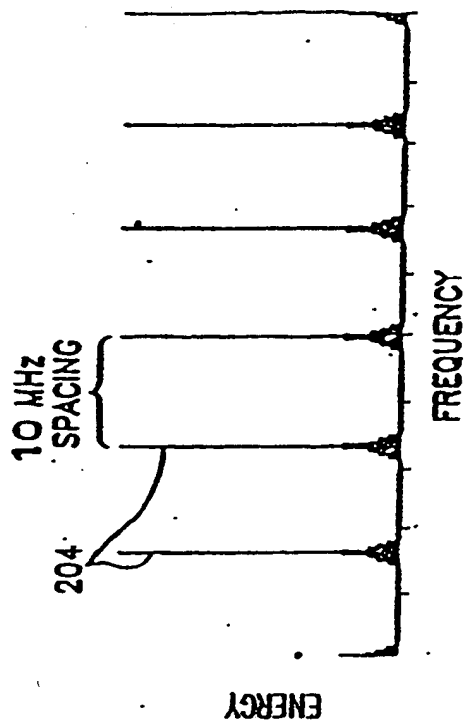


FIG. 2B

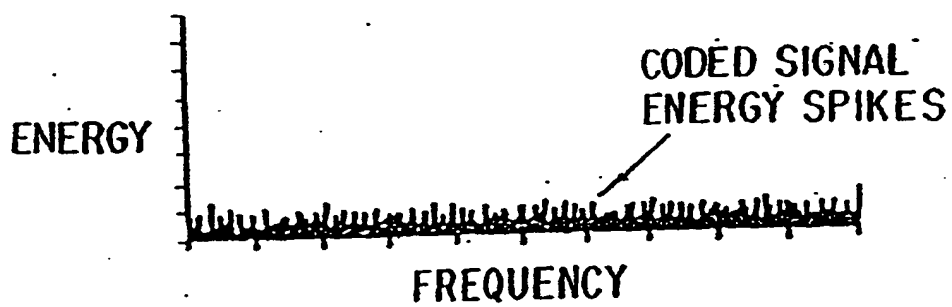


FIG. 3

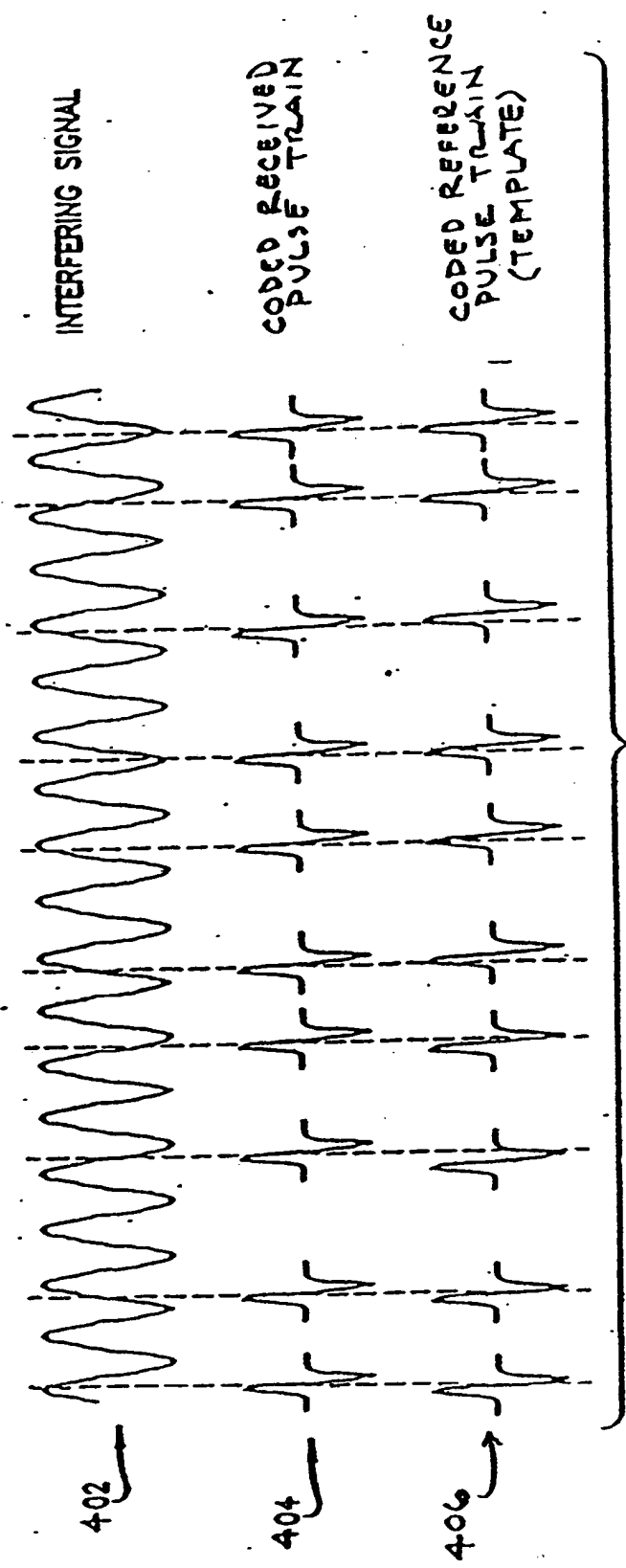


FIG. 4

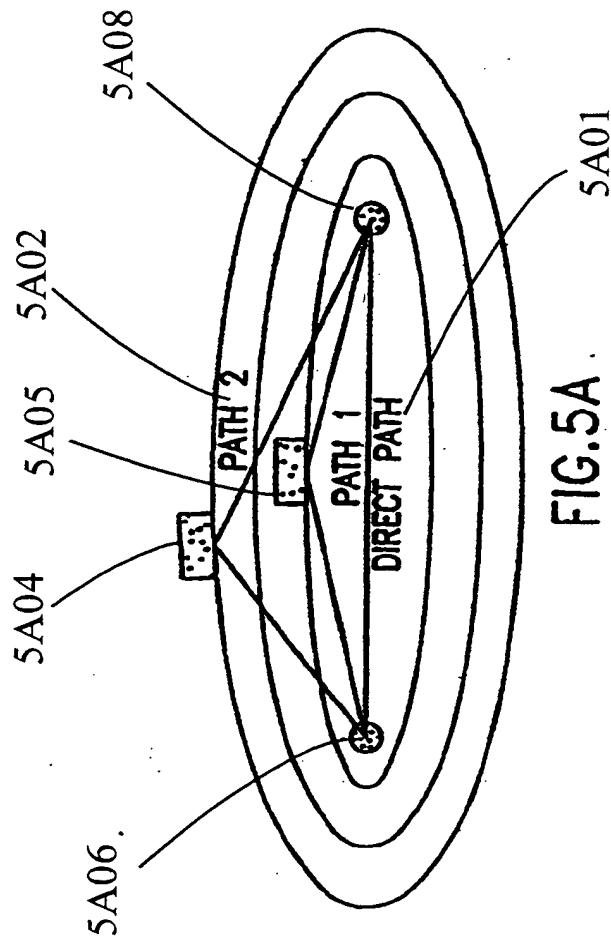


FIG. 5A

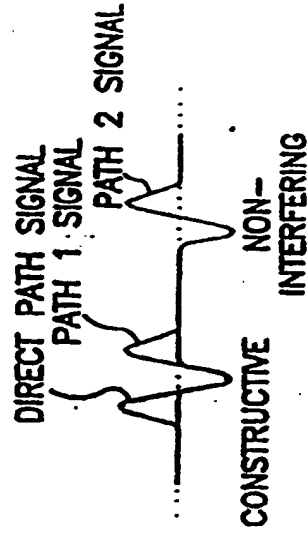


FIG. 5B

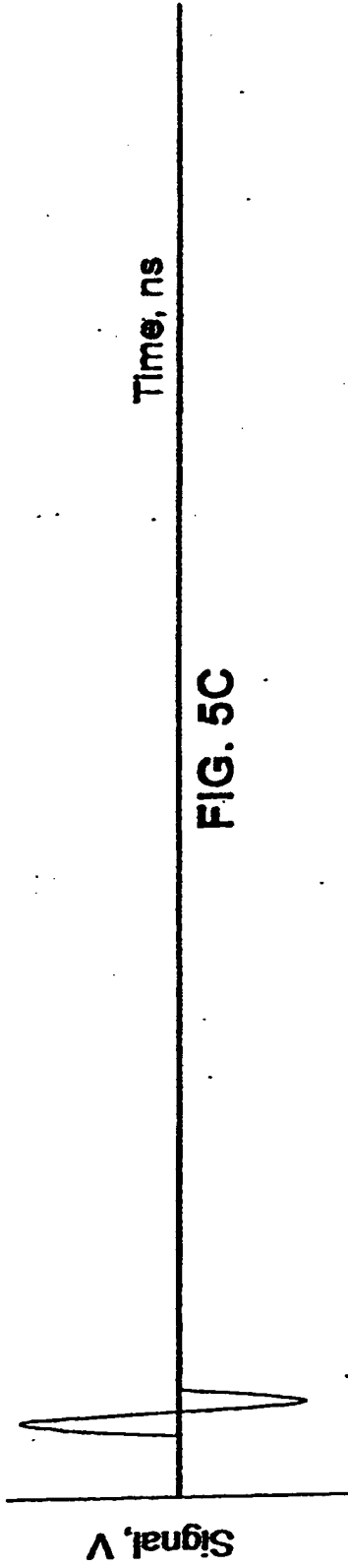


FIG. 5C

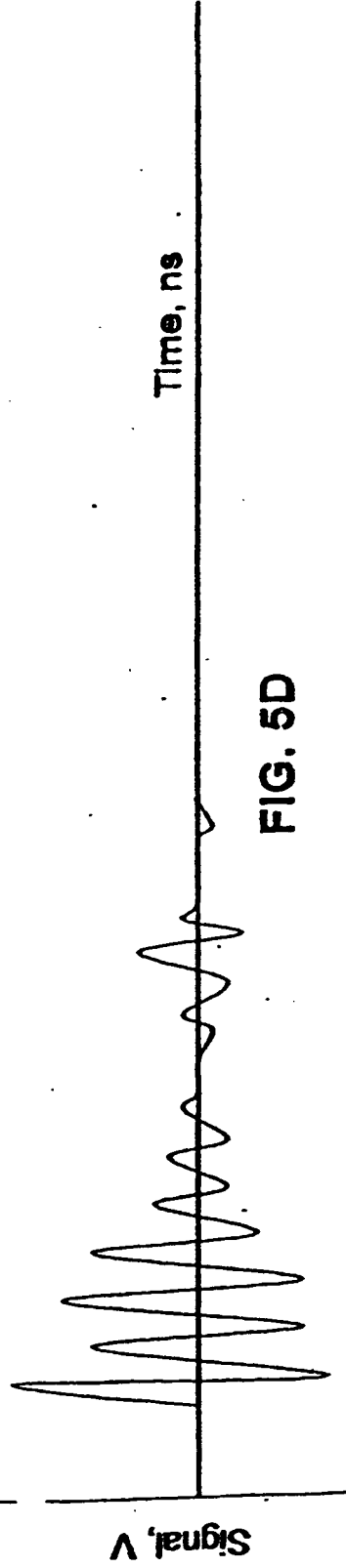


FIG. 5D

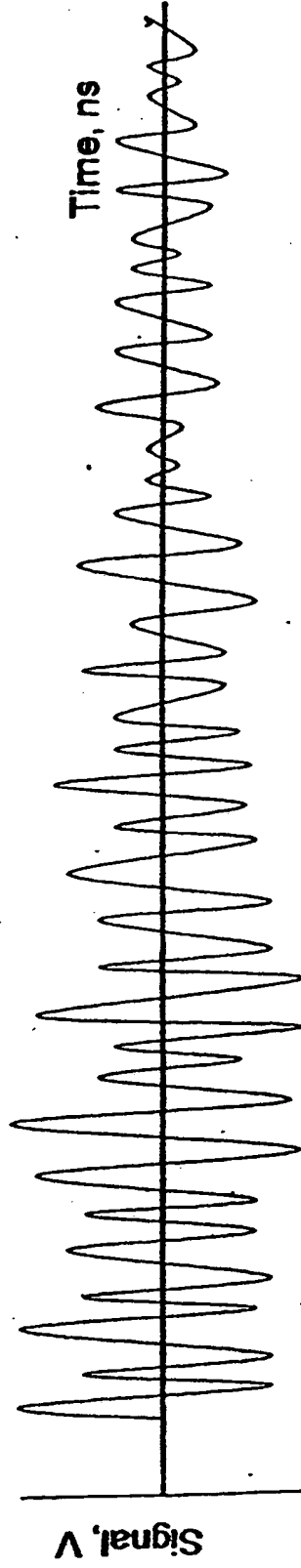


FIG. 5E

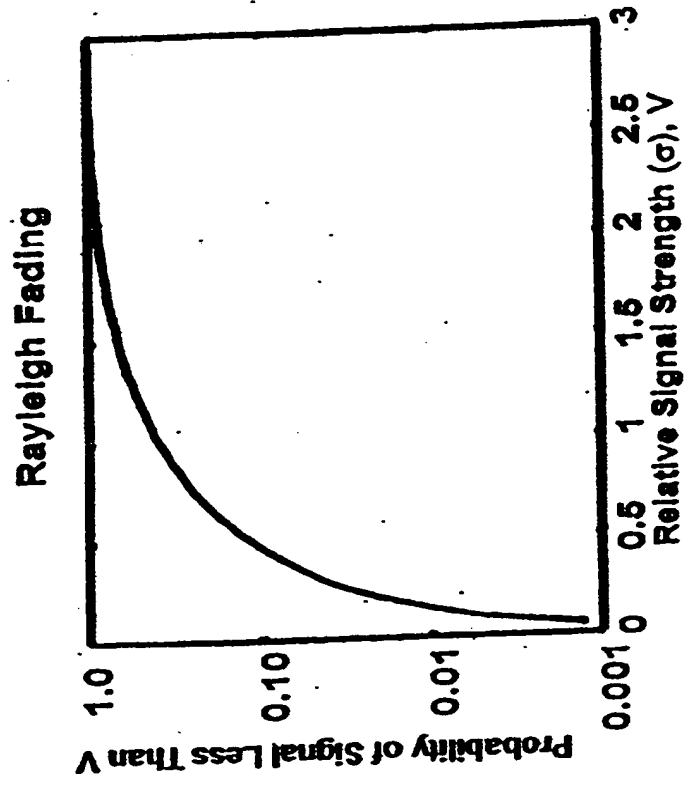


Fig. 5F

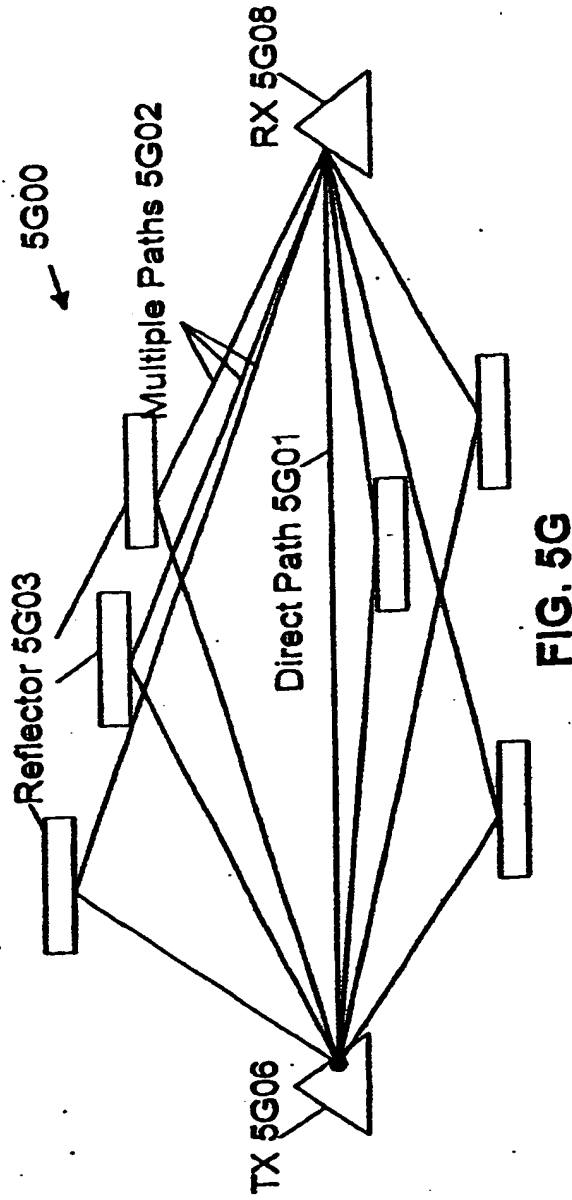


FIG. 5G

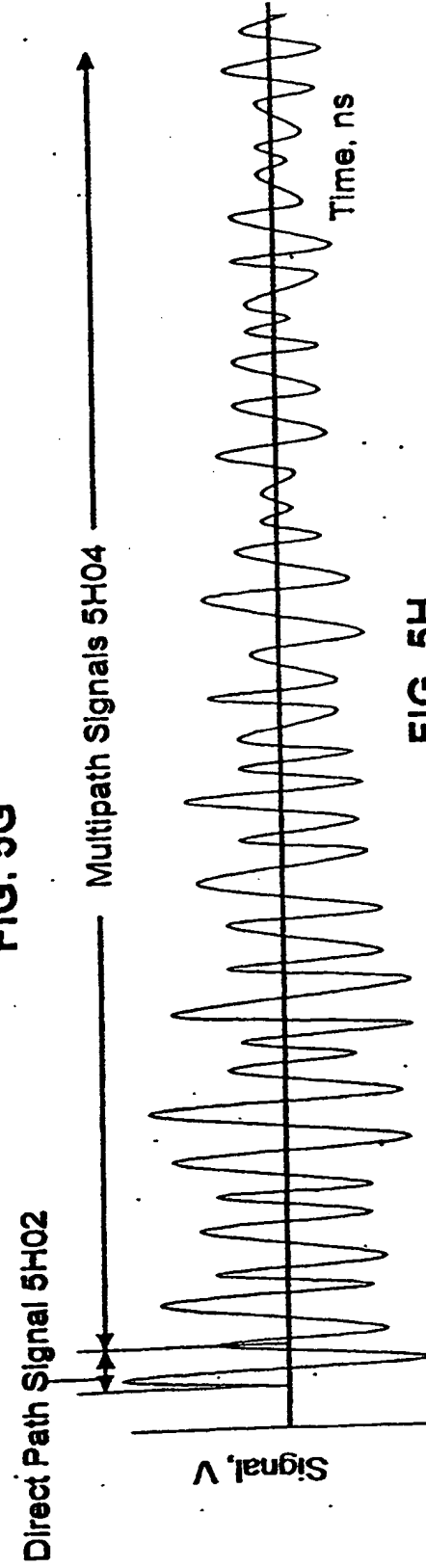
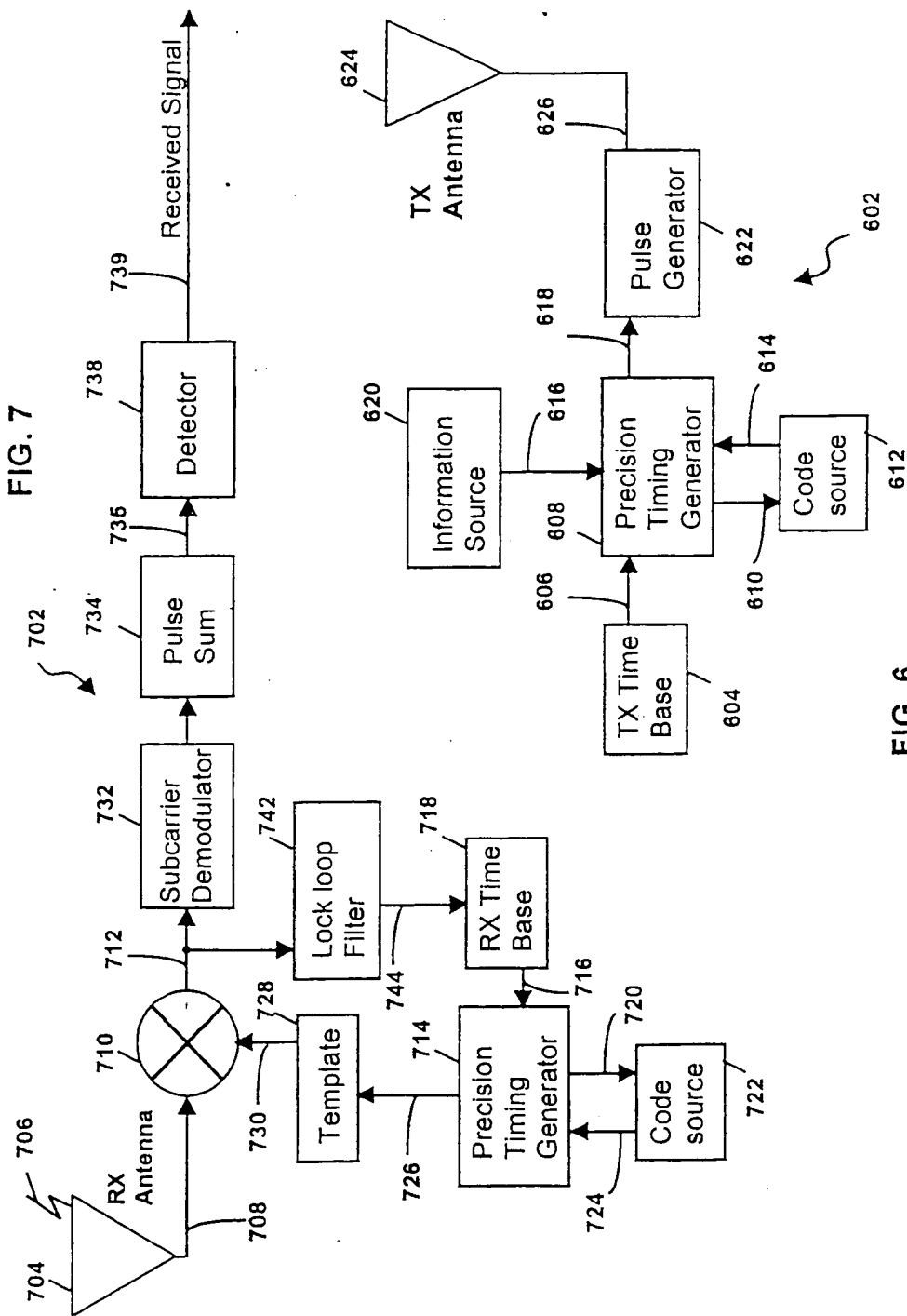


FIG. 5H





10920-TEST00

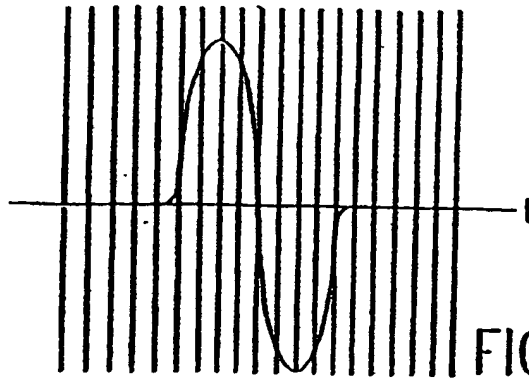


FIG. 8A

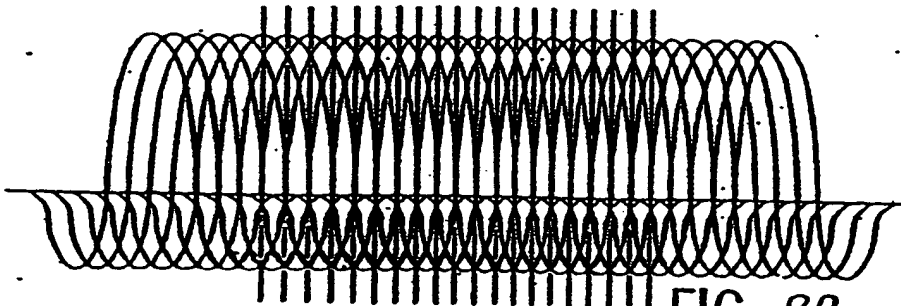


FIG. 8B

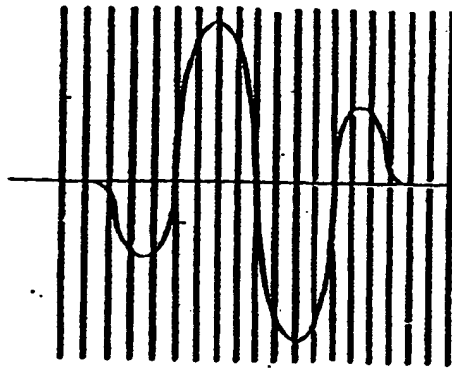


FIG. 8C

CORRESPONDING  
TO EACH  
 $\Delta t$

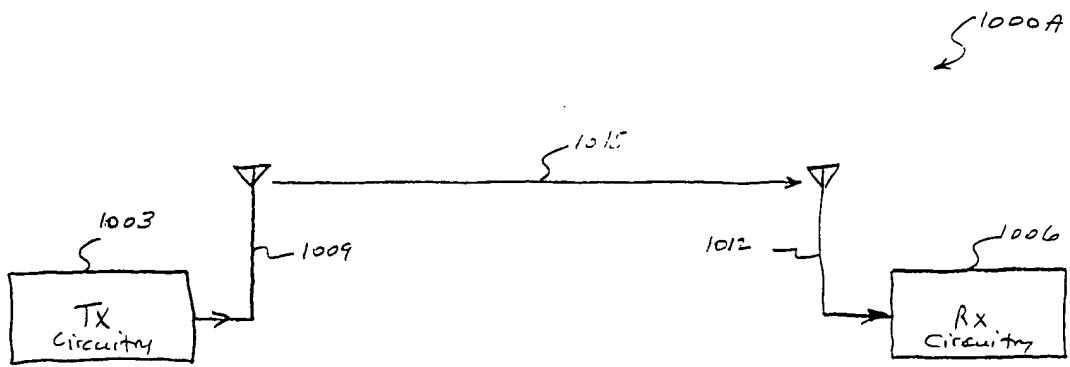
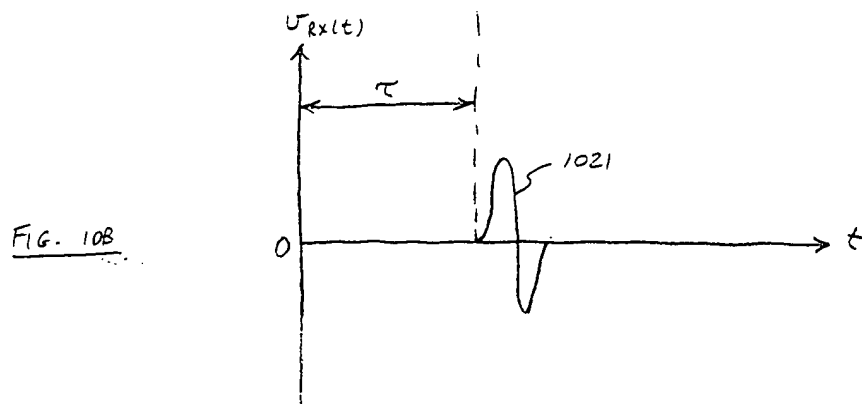
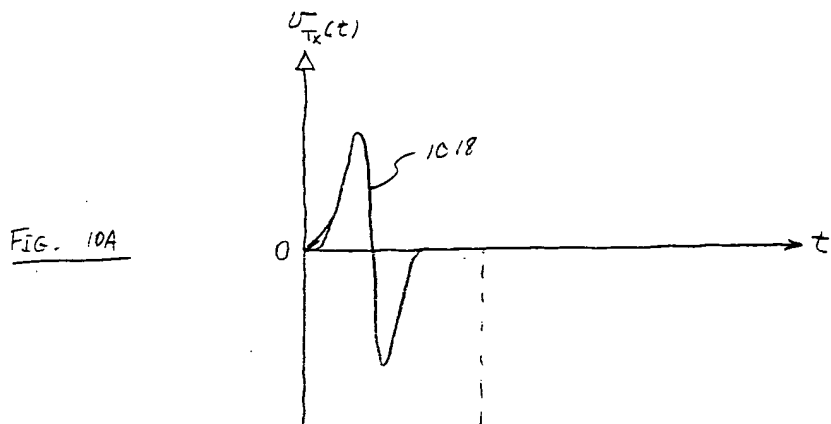


FIG. 9



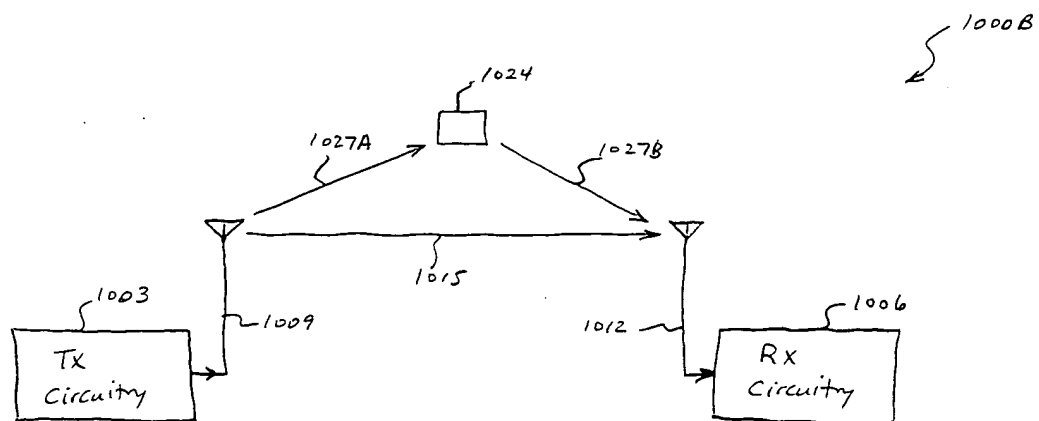
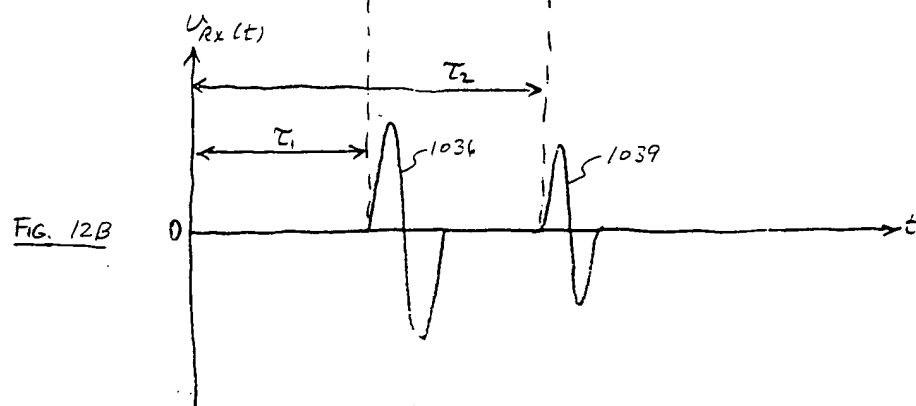
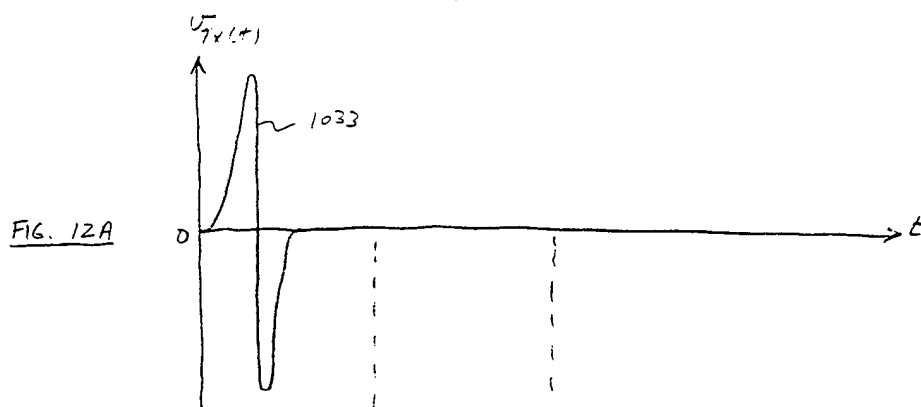


FIG. 11



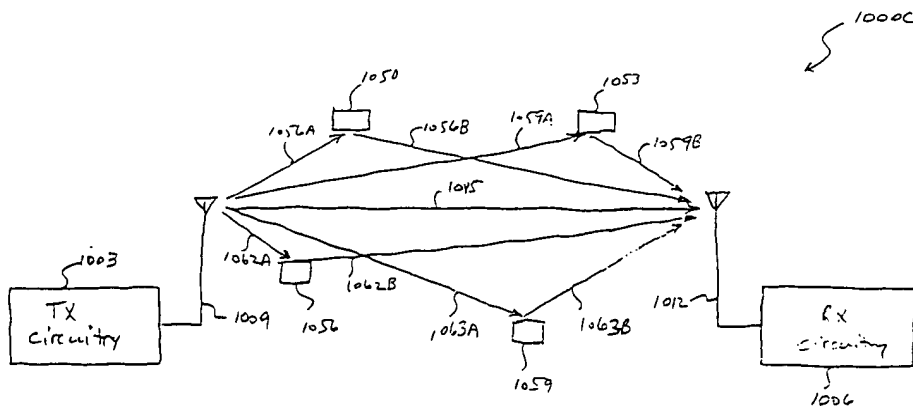


FIG. 13

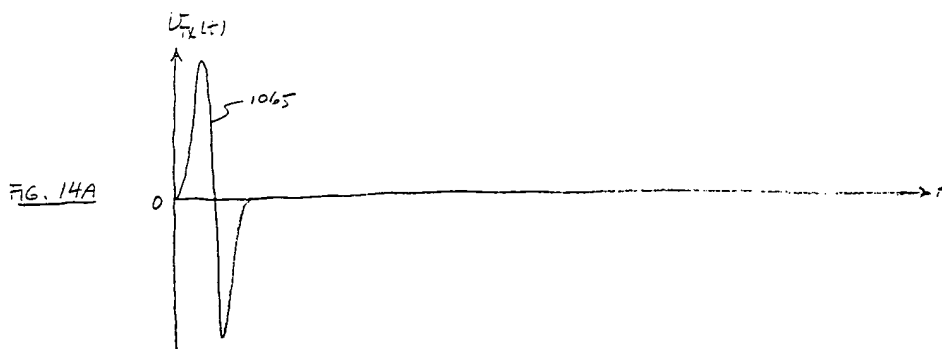


FIG. 14A

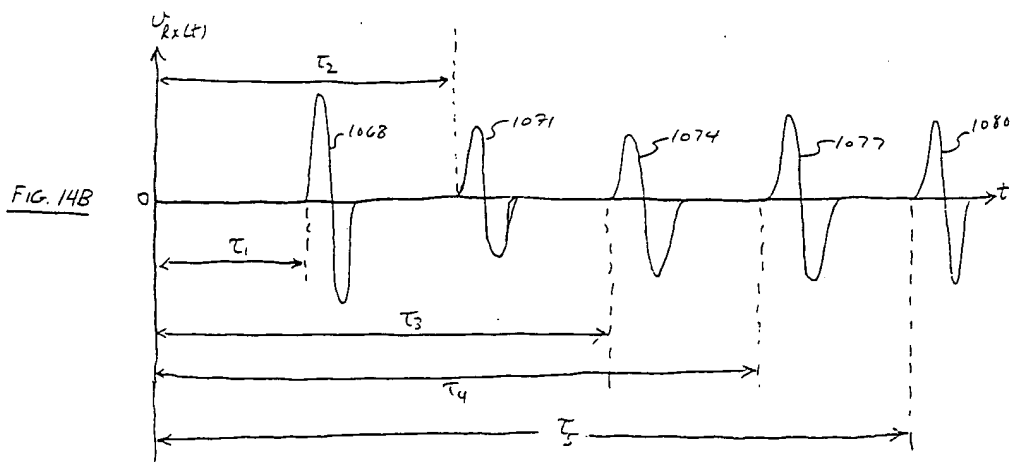
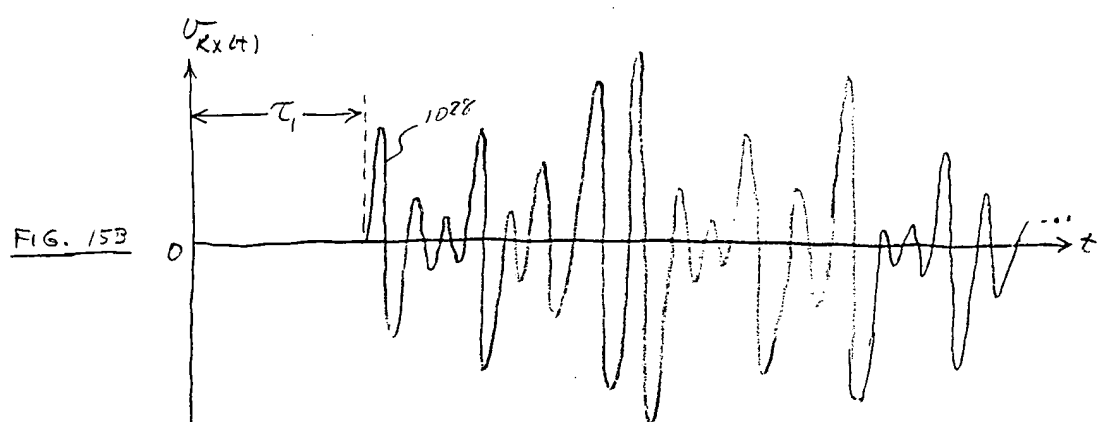
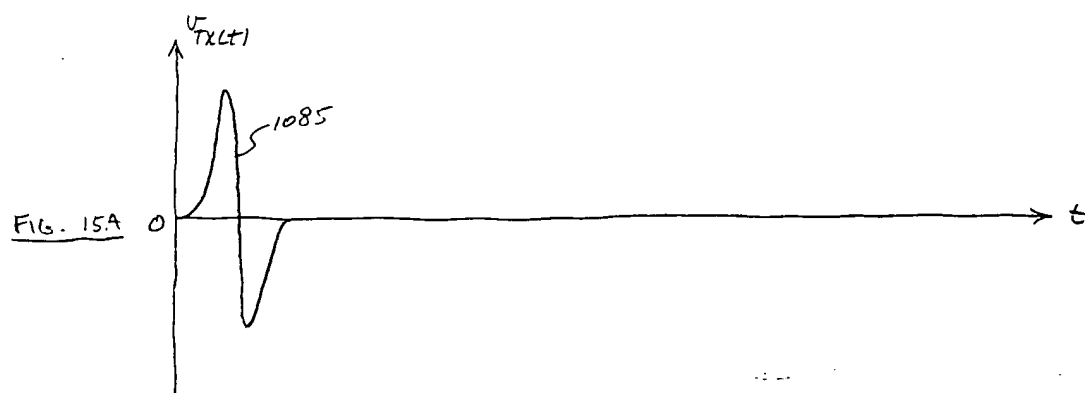


FIG. 14B

[illegible]

1095A

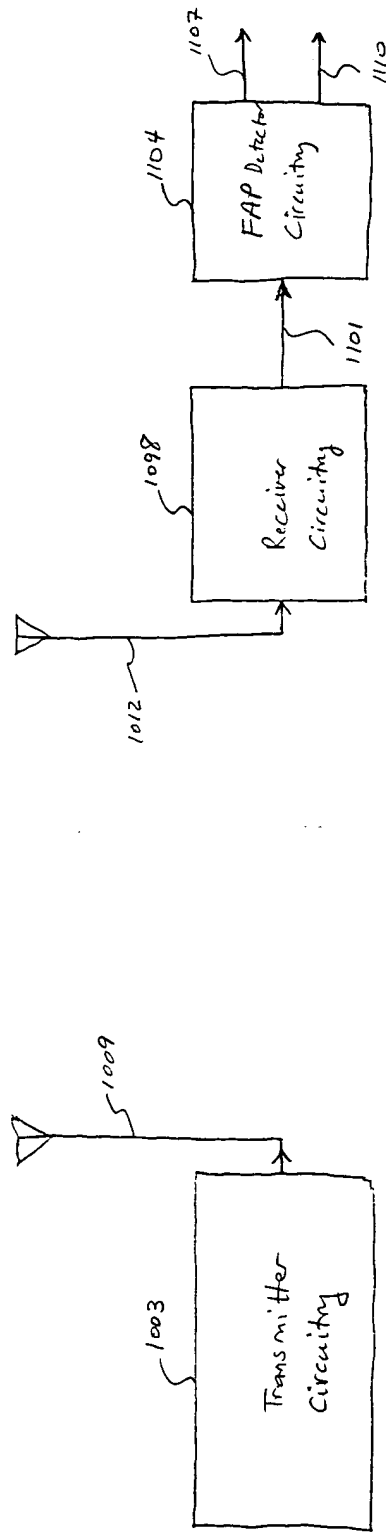


FIG. 16

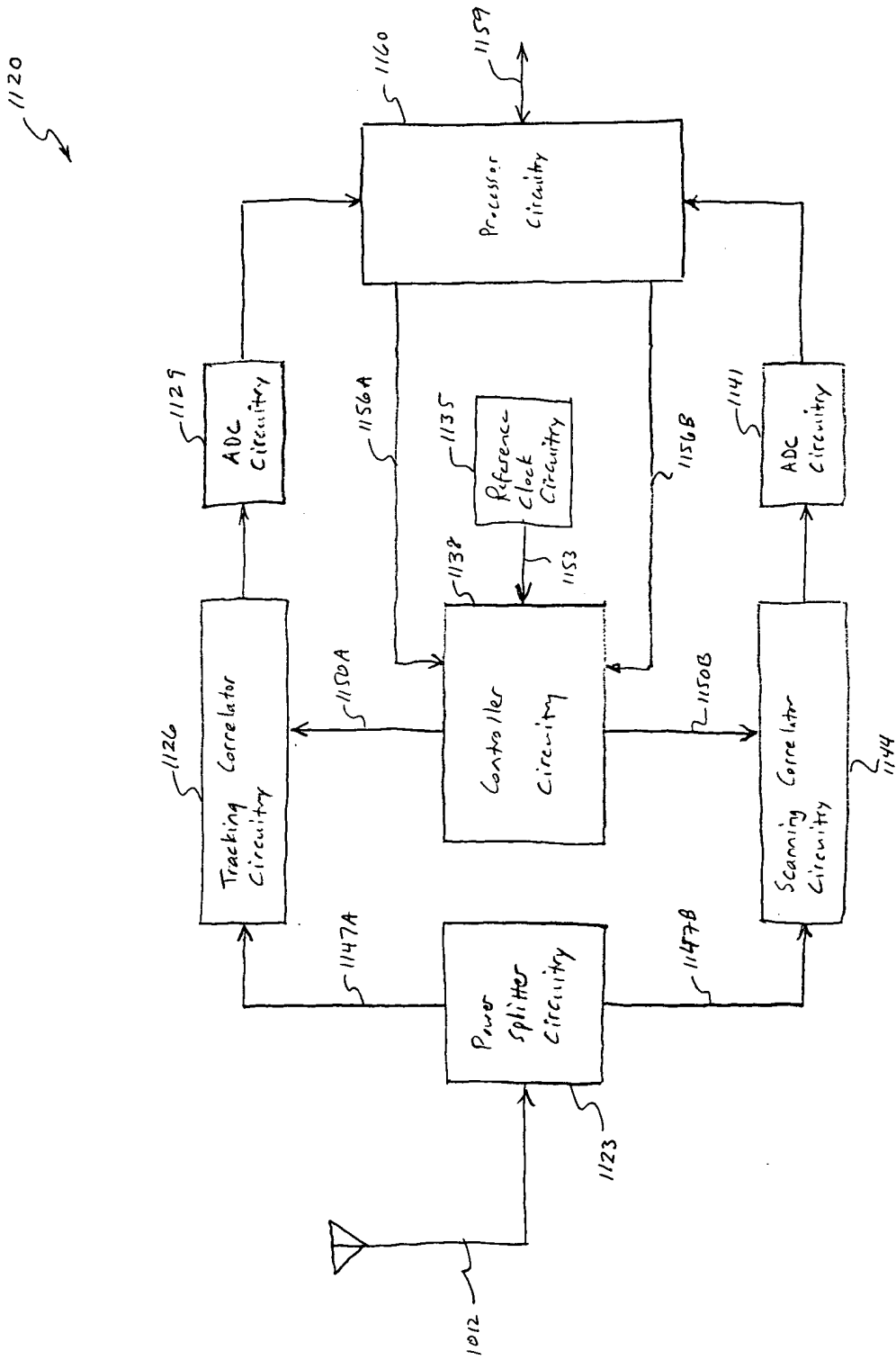


FIG. 17



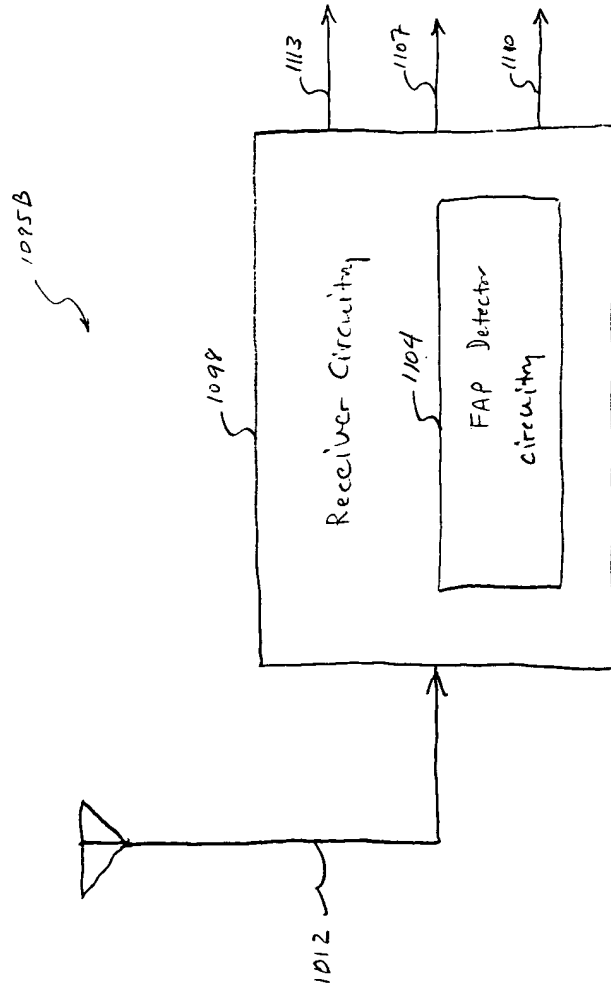


FIG. 18

FIG. 19

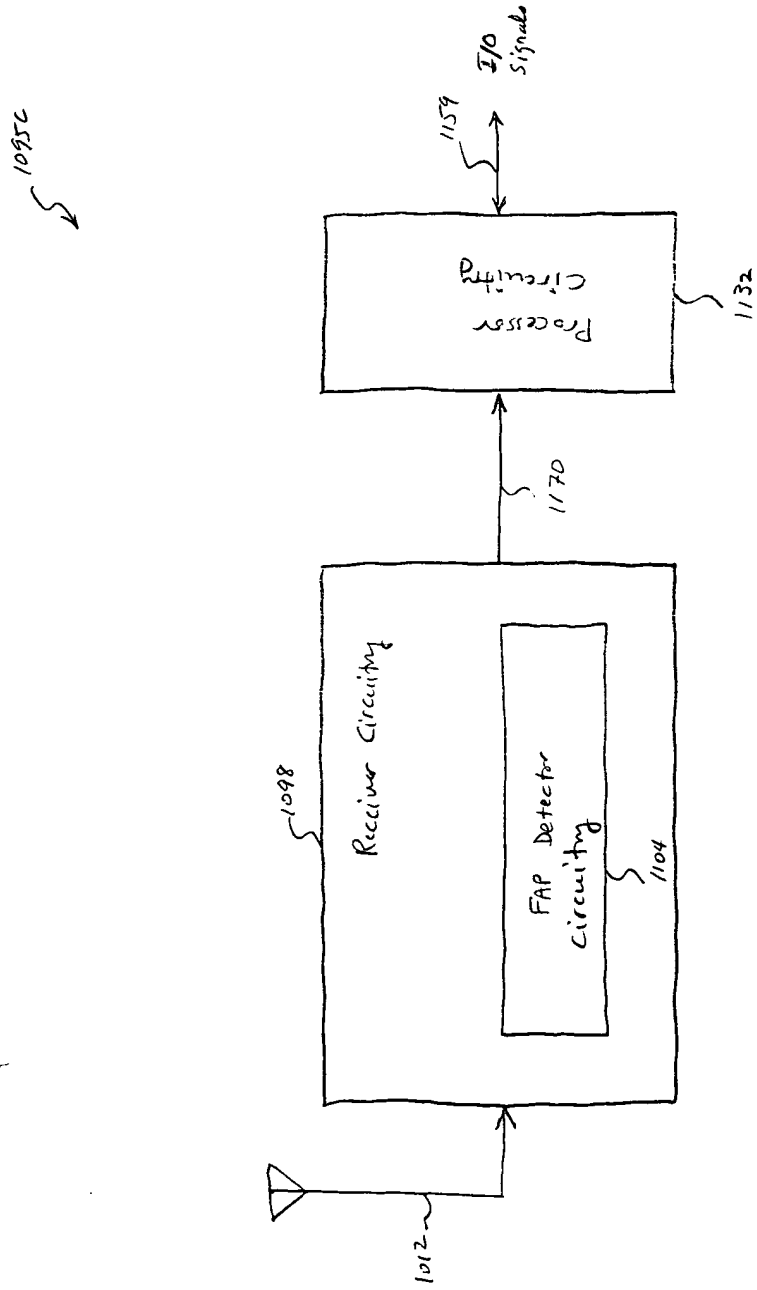


FIG. 19

1095D

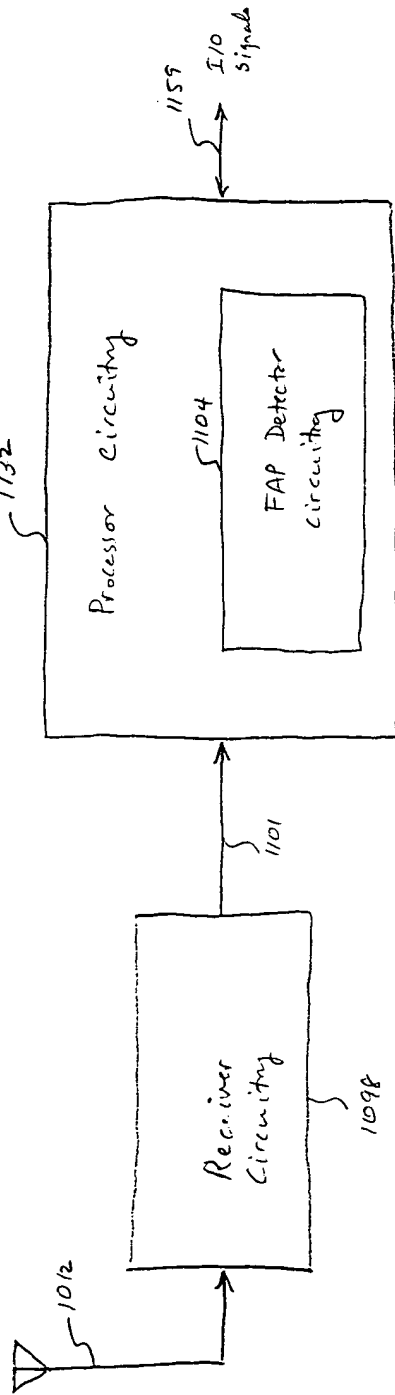


FIG. 20

FIG. 20

1015E

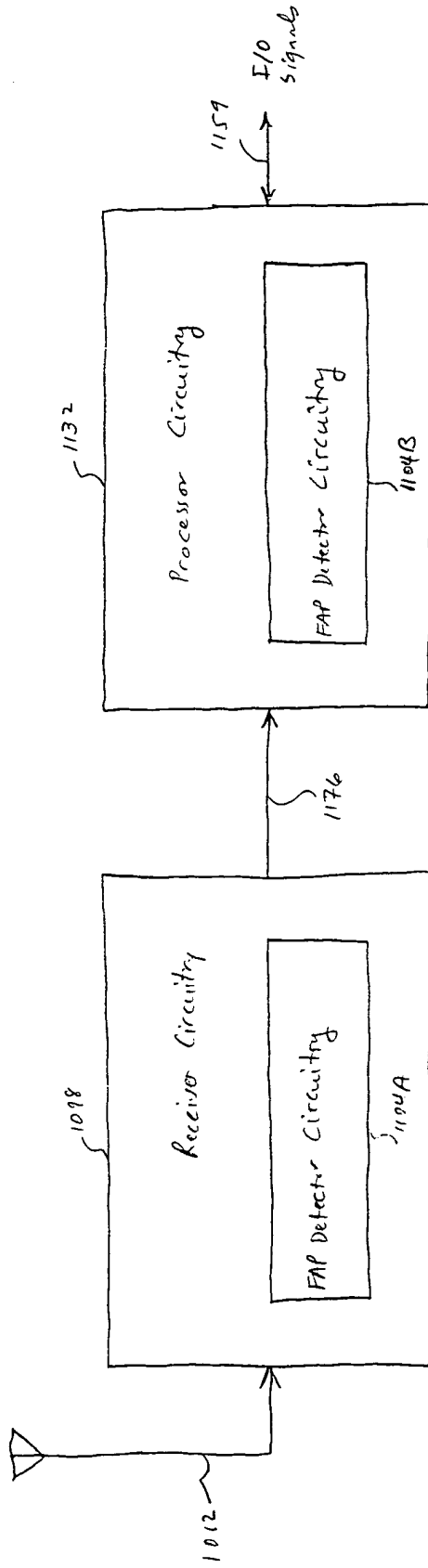


FIG. 21

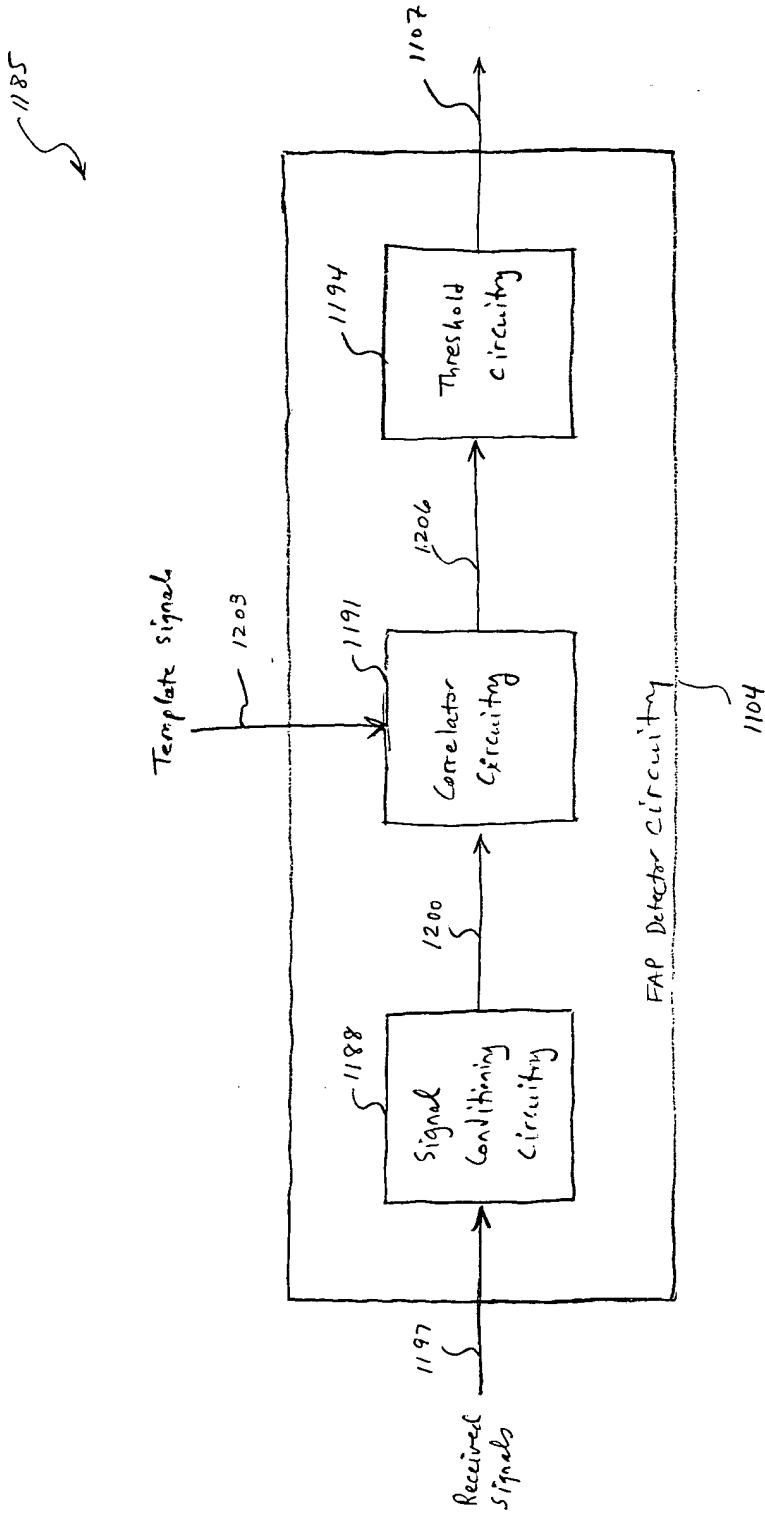


FIG. 22

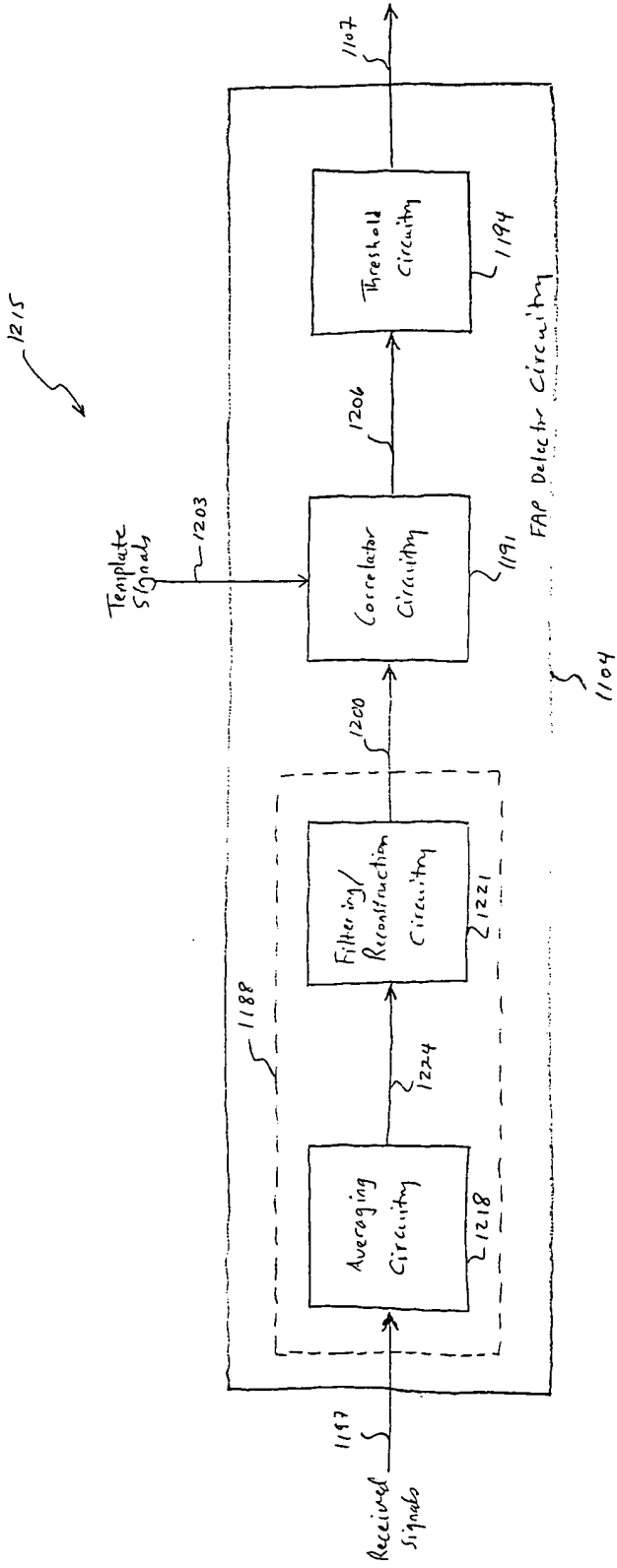


FIG. 23

1235

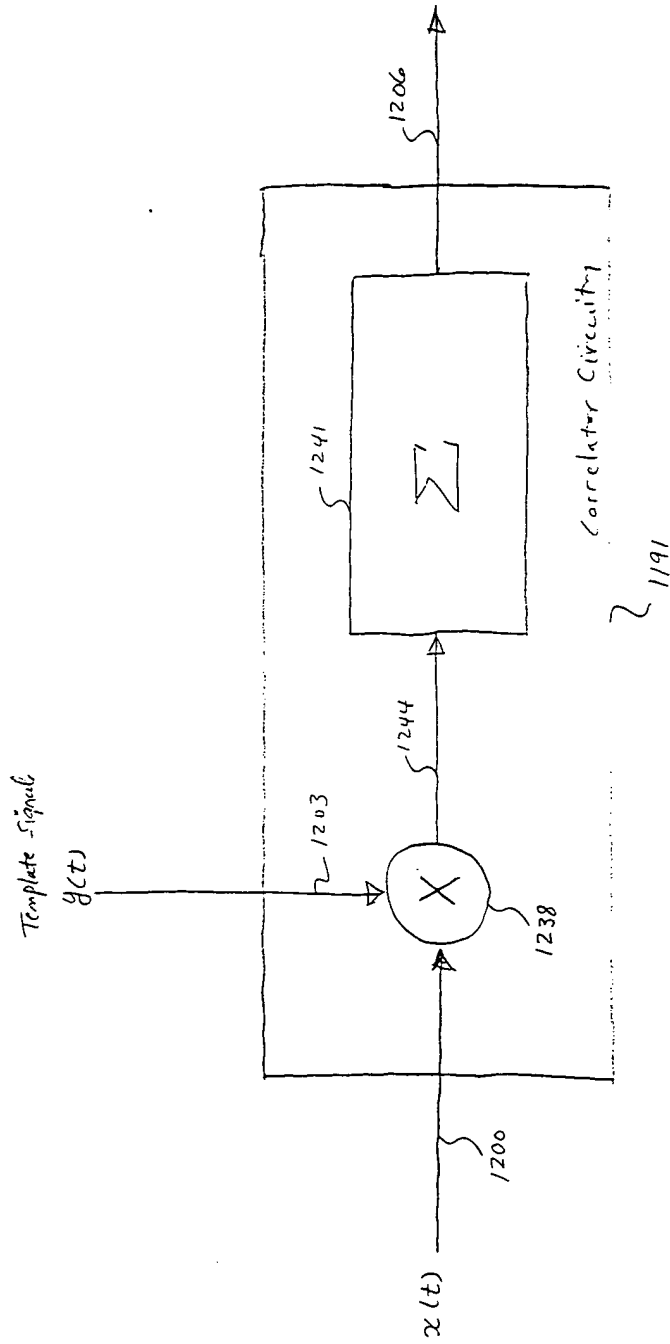


FIG. 24

1250

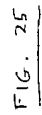
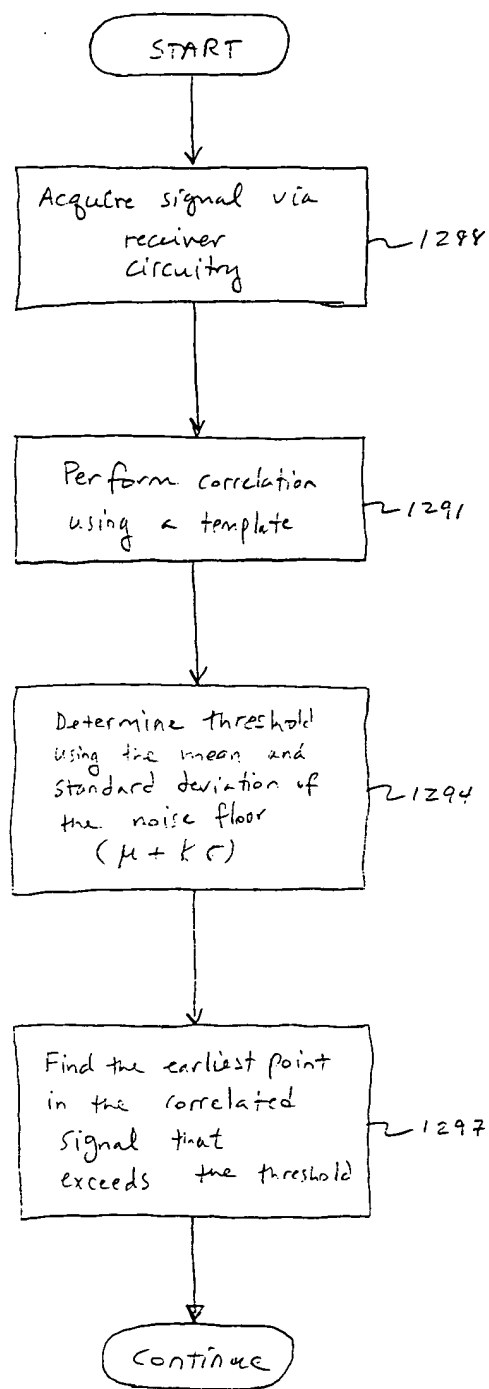


FIG. 25





1285

FIG. 26

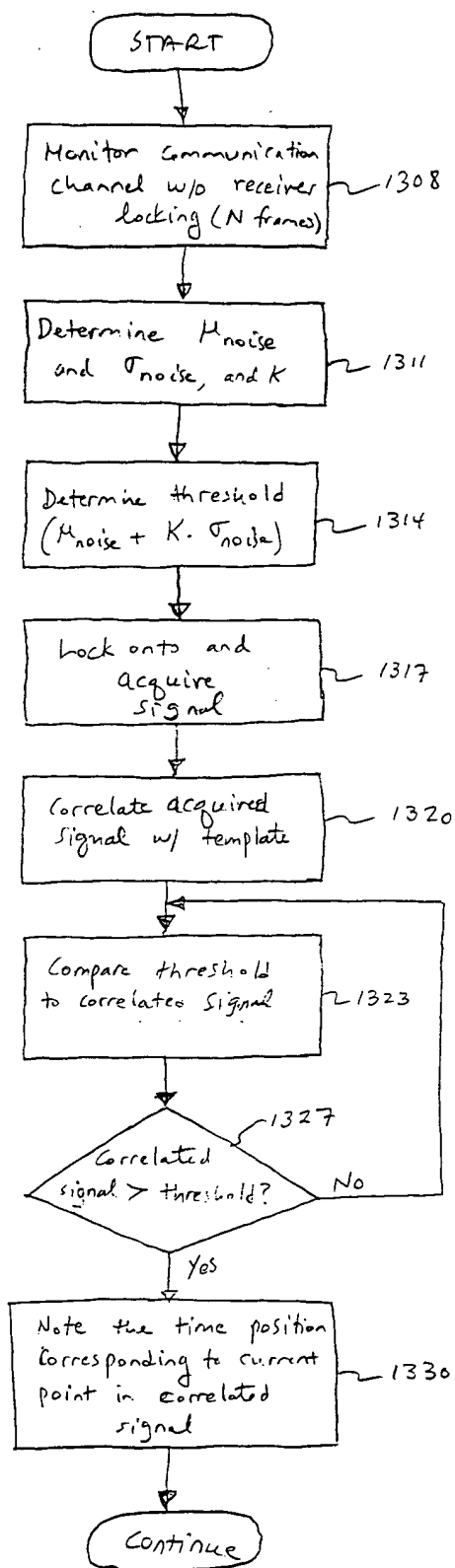


FIG. 27

FIG. 28

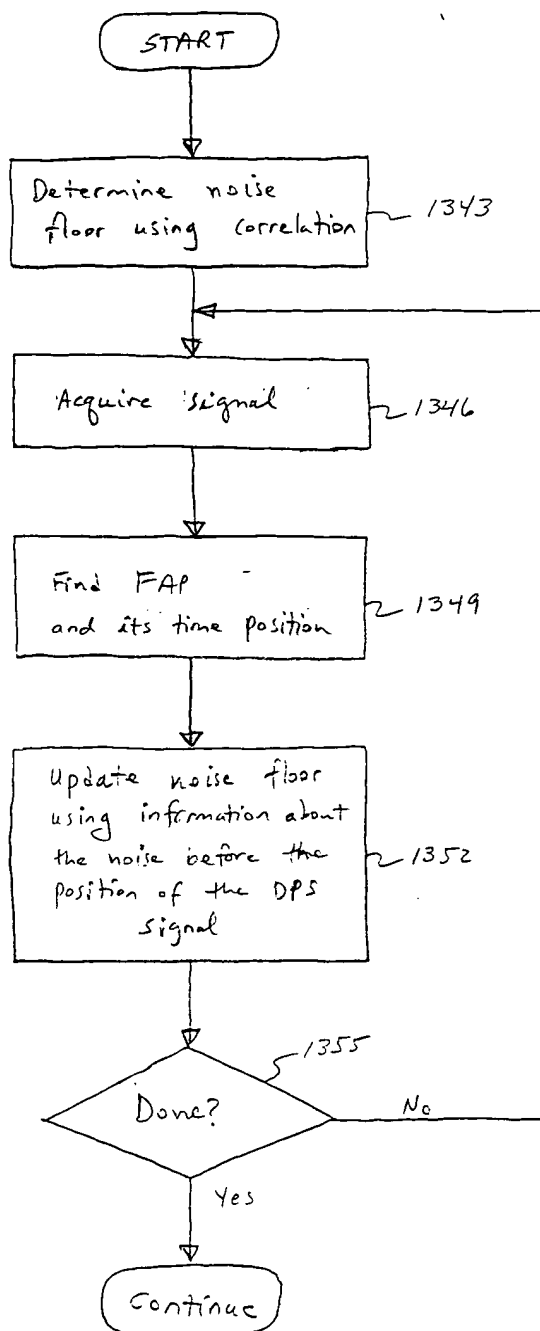


FIG. 28

FIG. 29

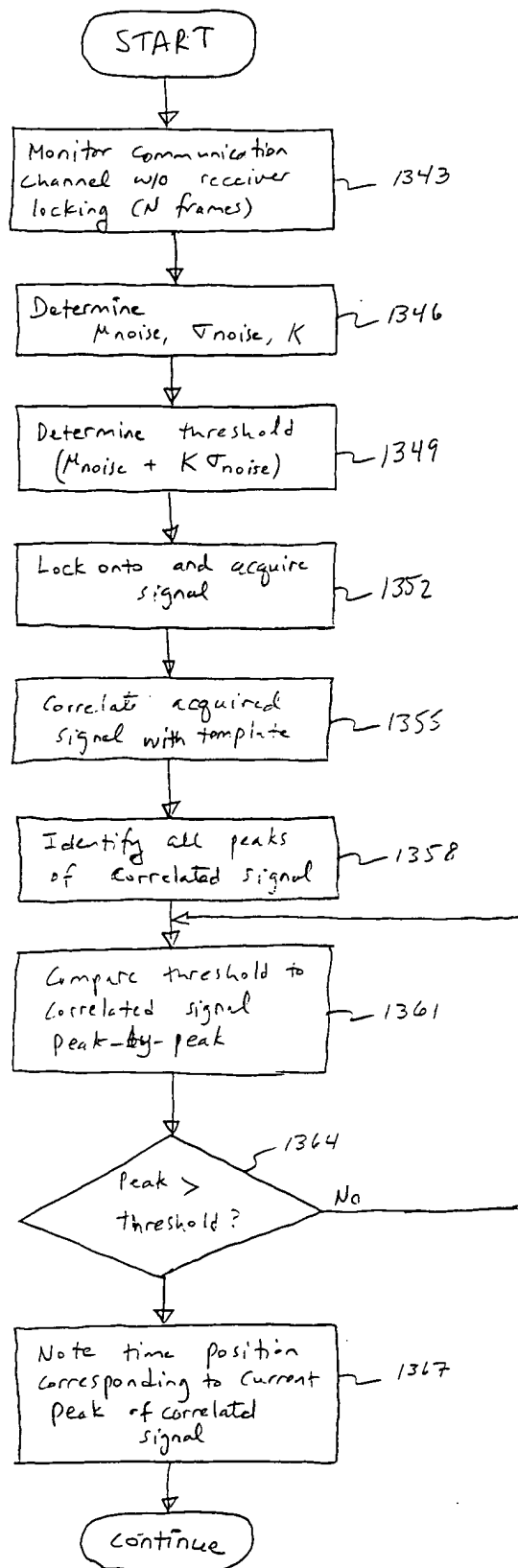


FIG. 29

10340-103400

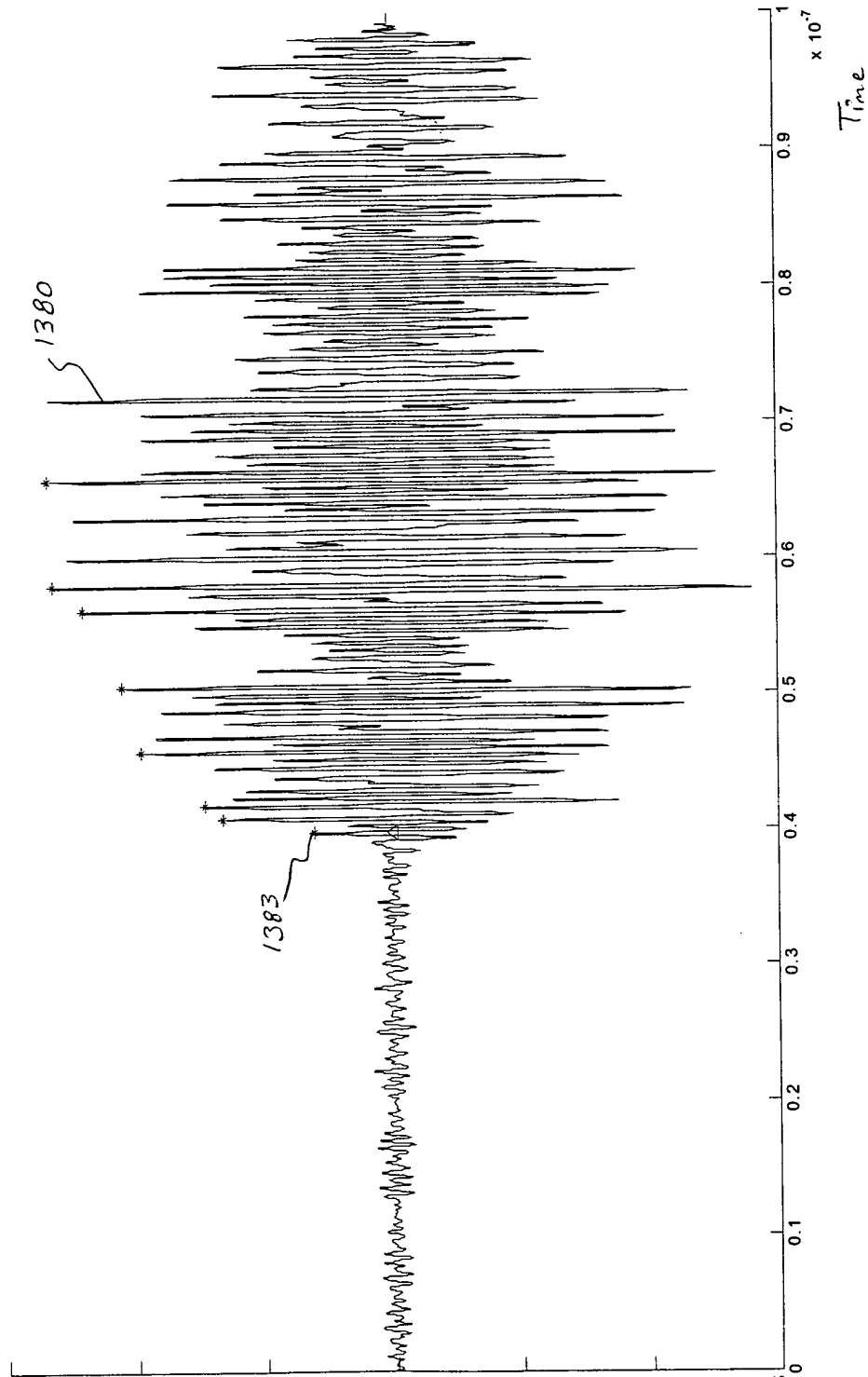


FIG. 30

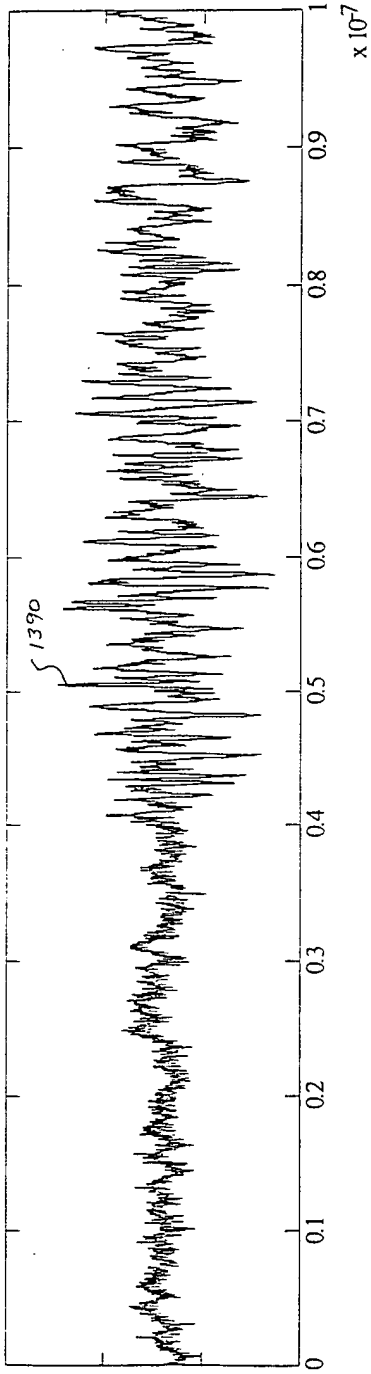


FIG. 31A

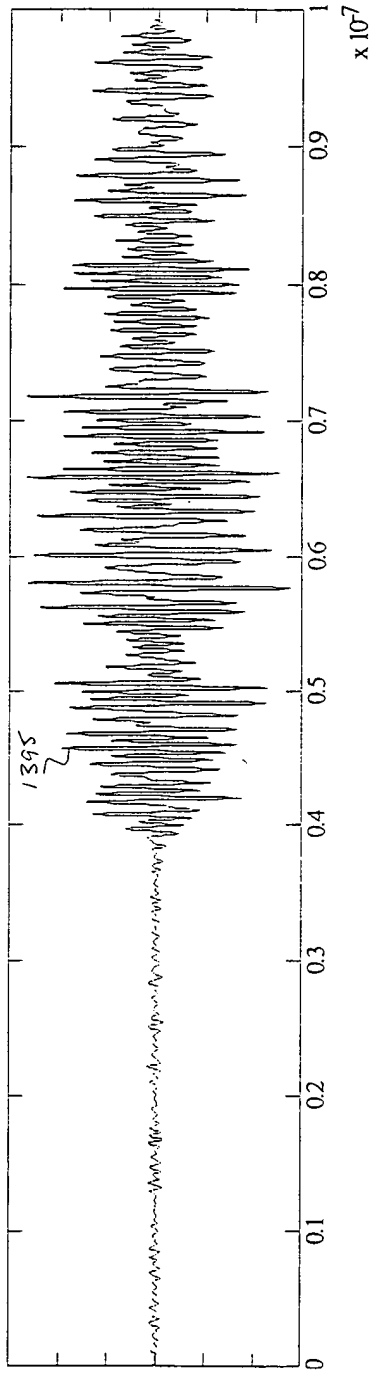


FIG. 31B

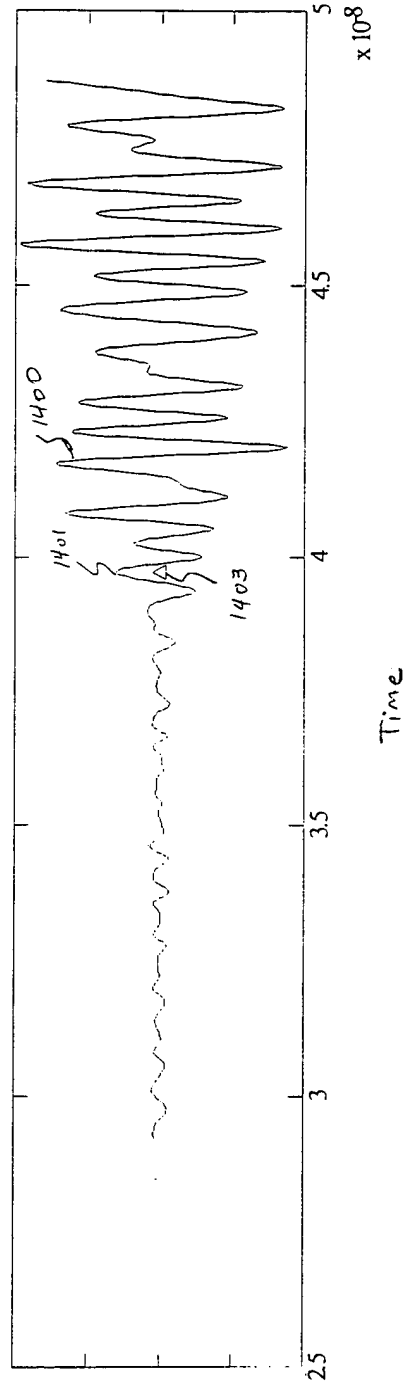


FIG. 31C

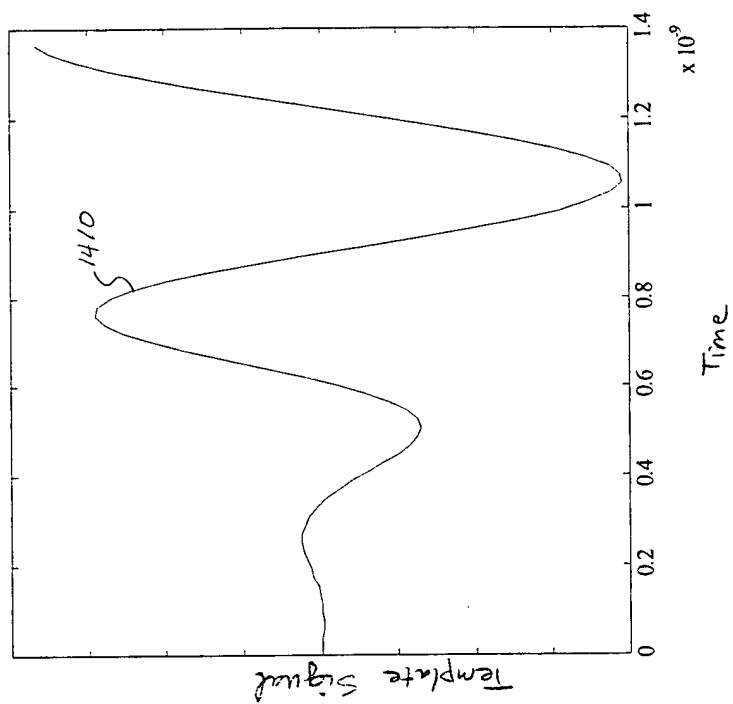
[illegible]

FIG. 32

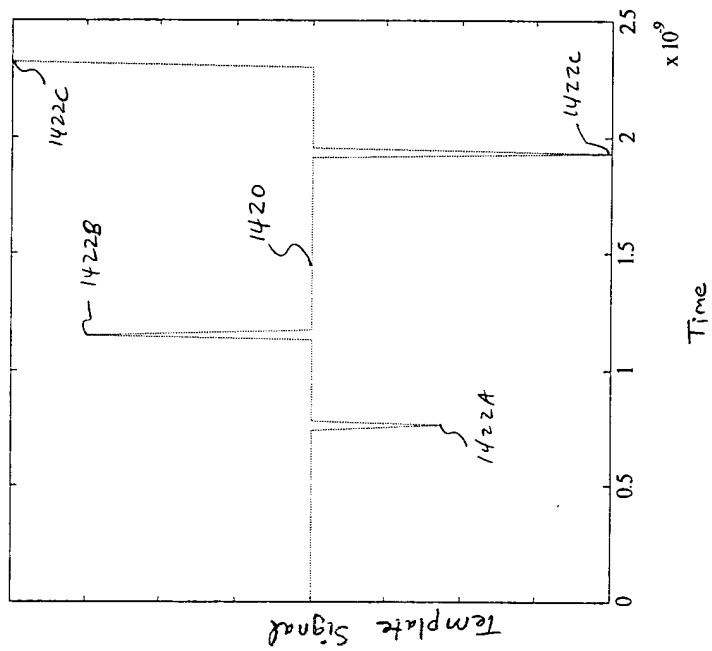


FIG. 33



1430

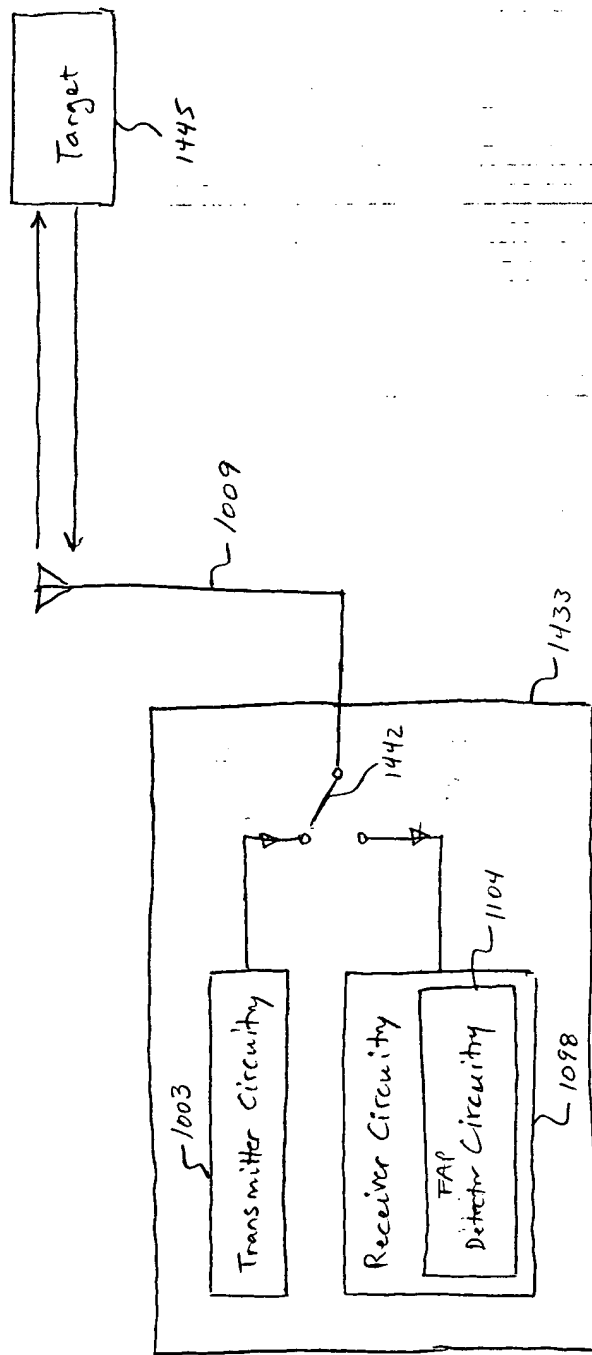


FIG. 34

1450

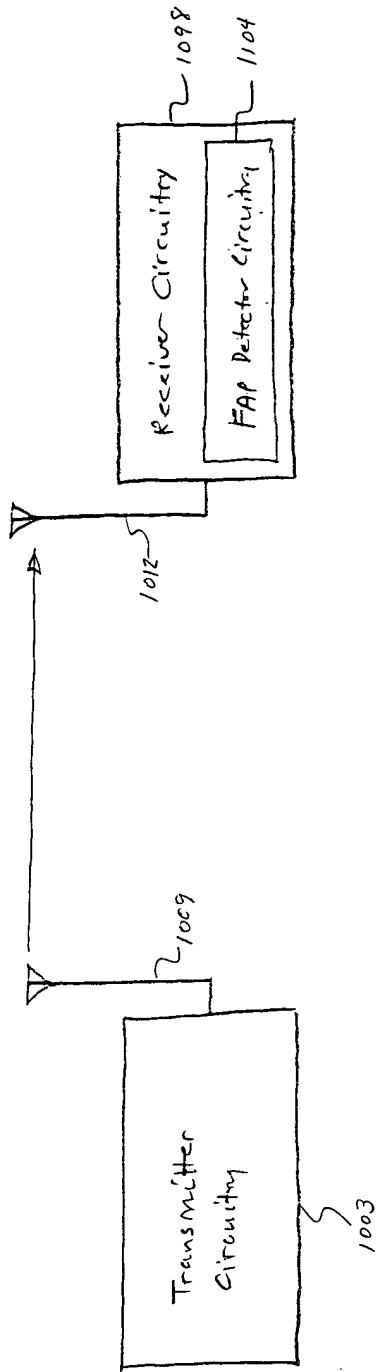


FIG. 35

1455

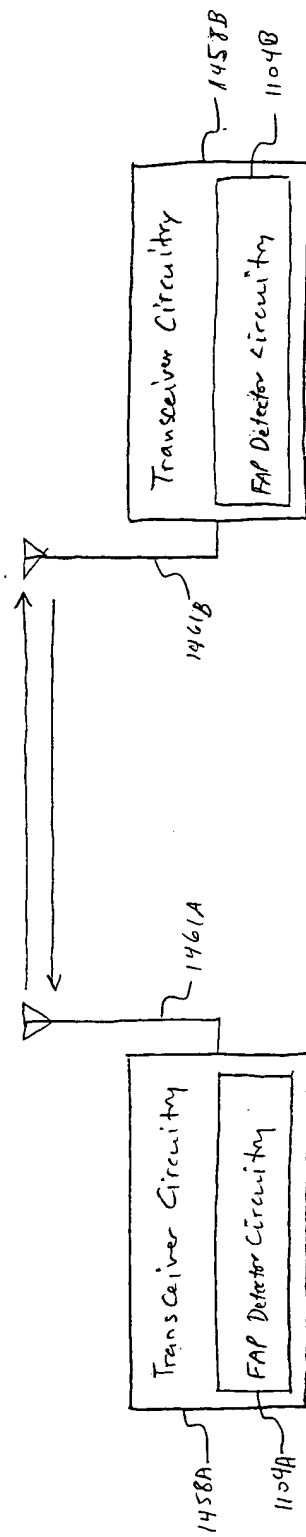


FIG. 36